

Document de synthèse sur la structure de jeu de données

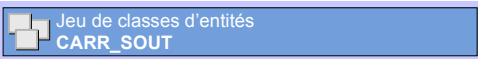
Carrières souterraines (CARR_SOUT)

Ce diagramme a été généré de manière automatique à partir de l'outil [Geodatabase Diagrammer](#) pour ArcGIS 10.x.

Géodatabase : CARR_SOUT.gdb
Date de création : mercredi 11 mars 2015

Structure résumée du jeu de données CARR_SOUT

Ce jeu de données consiste en la digitalisation des limites des anciennes carrières souterraines selon le parcellaire cadastral, les plans disponibles en archive ou les levés topographiques effectués sur le terrain. Il intègre aussi des indices repérés sur le terrain de carrières souterraines.
Chaque périmètre est lié à une fiche d'information descriptive.



Carrières souterraines



Limites des anciennes carrières souterraines

Structure détaillée du jeu de données

Carrières souterraines

| Jeu de classes d'entités CARR_SOUT | | | | | | | | | | | | | Domaine, précision, tolérance et système de référence | |
|------------------------------------|-----------|---------|--------------|---------|--------|------------|---------|--------|------------|----------------|---------|--------|---|--|
| Xorigin | Yorigin | XYScale | XY Tolerance | Zorigin | Zscale | Ztolerance | Morigin | Mscale | MTolerance | High Precision | XY WKID | Z WKID | | |
| -35872700 | -30622700 | 0.001 | 0.002 | -100000 | 0.001 | 0.002 | -100000 | 0.001 | 0.002 | VRAI | 31370 | None | | |
| Etendue | | | | | | | | | | | | | | |
| XMin | | | YMin | | | Xmax | | | Ymax | | | | | |
| 20000 | | | 15000 | | | 305000 | | | 180000 | | | | | |

| Simple feature class CARR_SOUT_REGROUPEMENT | | | | | | Géométrie Polygon | | |
|---|-----------------|-------------|-------|-------------------|----------------------|-------------------|------|-------|
| | | | | | | Contient des M | | No |
| | | | | | | Contient des Z | | No |
| Nom du champ | Type de données | Val. Nulles | Index | Valeur par défaut | Domaine | Précision | Ech. | Long. |
| OBJECTID | Object ID | | Yes | | | | | |
| Shape | Geometry | Yes | Yes | | | | | |
| CODE | Long integer | Yes | | | | 0 | | |
| BUFFER | Short integer | Yes | | | | 0 | | |
| TYPE | String | Yes | Yes | | CARR_SOUT_TYPE_SITES | | | 80 |
| NOM | String | Yes | Yes | | | | | 80 |
| Shape_Length | Double | Yes | | | | 0 | 0 | |
| Shape_Area | Double | Yes | | | | 0 | 0 | |

Limites des anciennes carrières souterraines

Identifiant unique de la carrière souterraine
Buffer de la carrière souterraine
Type de sites de carrières souterraines
Nom de la carrière souterraine

| Coded value domain CARR_SOUT_TYPE_SITES | | Nom de la carrière souterraine |
|--|-------------|--|
| Description Classification des sites | | |
| Type de champ String | | |
| Règle de division Default value | | |
| Règle d'agrégation Default value | | |
| Code | Description | Description |
| Ardoisière souterraine | | Ardoisière souterraine |
| Carrière souterraine de calcaire (marbre) | | Carrière souterraine de calcaire (marbre) |
| Carrière souterraine de calcaire viséen | | Carrière souterraine de calcaire viséen |
| Carrière souterraine de coticule | | Carrière souterraine de coticule |
| Carrière souterraine de craie (marné) | | Carrière souterraine de craie (marné) |
| Carrière souterraine de craie phosphatée | | Carrière souterraine de craie phosphatée |
| Carrière souterraine de grès primaire | | Carrière souterraine de grès primaire |
| Carrière souterraine de marbre noir | | Carrière souterraine de marbre noir |
| Carrière souterraine de phosphate (riche) | | Carrière souterraine de phosphate (riche) |
| Carrière souterraine de pierre de Gobertange | | Carrière souterraine de pierre de Gobertange |
| Carrière souterraine de sable et grès calcaireux | | Carrière souterraine de sable et grès calcaireux |
| Carrière souterraine de sables blancs thanétiens | | Carrière souterraine de sables blancs thanétiens |
| Carrière souterraine de sables tertiaires | | Carrière souterraine de sables tertiaires |
| Carrière souterraine de silex (moderne) | | Carrière souterraine de silex (moderne) |
| Carrière souterraine de silex néolithique | | Carrière souterraine de silex néolithique |
| Carrière souterraine de terre plastique | | Carrière souterraine de terre plastique |
| Carrière souterraine de terres plastiques | | Carrière souterraine de terres plastiques |
| Carrière souterraine de tuffeau crétacé | | Carrière souterraine de tuffeau crétacé |
| Carrière souterraine mixte de craie phosphatée / phosphate riche | | Carrière souterraine mixte de craie phosphatée / phosphate riche |
| Carrière souterraine mixte silex et marné | | Carrière souterraine mixte silex et marné |
| Exploitation souterraine de Barytine | | Exploitation souterraine de Barytine |
| Indice observé par la CWEPS | | Indice observé par la CWEPS |
| Indice observé par la F. Vandijck | | Indice observé par la F. Vandijck |